

일반적층배열 평판에 대한 유한요소 후처리기법

Finite Element Postprocess Method for Composite Plate with General Layups

최연진*, 조맹효 (인하대학교)

1. 서론

복합재 적층구조물의 해석시 일차전단변형이론은 전체거동을 예측하기에 적합하다. 그러나 두께 방향을 통한 보다 정확한 응력해석을 위해서는 보다 세련된 모델링이 요구된다. 단순화된 고차이론[1-4] 중 Cho 와 Parmerter[4-5] 에 의해 개발된 효율적인 고차이론(EHOPT)은 응력과 변형에 대한 정확한 예측이 가능하나 이를 유한요소로 구현하였을 때[6] 처짐에 대한 C1 형상함수의 도입이 필요하며 강성 행렬이 매우 복잡하다. 이를 우회하기 위한 방법으로 EHOPT의 변위장을 후처리기로 이용하고 일차전단변형이론(FOPT)의 해만을 필요로 하는 후처리 기법이 제안되었다. 이러한 후처리기법은 대칭 직교 평판[7]과 셀[8]에 대해 개발되었는데 계산과정은 크게 두가지로 구성된다. 첫째, 두 이론의 전단에너지의 등가를 이용하여 FOPT와 EHOPT의 전단변형을 사이의 관계식을 구한다. 둘째, 후처리기로 쓰이는 EHOPT의 변위장을 이용하여 FOPT로부터 변형과 응력을 구한다. 본 연구의 목적은 앞서 제안된 직교대칭 적층판에서의 후처리기법을 확장하여 일반적인 적층배열의 경우에 후처리기법을 유한요소 기법안에서 적용하는데 있다.

2. 후처리기로 사용된 변위장

2.1 1차전단변형이론(FOPT)

1차전단변형이론의 변위장은 아래와 같다.

$$u_\alpha = u_\alpha^0 + \psi_\alpha z, \quad u_3 = w(x_1, x_2) \quad (1)$$

여기서 u_α^0 와 w 는 각각 면내변위와 기준면에서의 처짐을 나타내며 ψ_α 는 기준면에서의 회전각을 나타낸다. 또한 변형률-변위관계식으로부터 횡방향 전단 변형률은 다음과 같이 쓸 수 있다.

$$\gamma_{3\alpha} = \frac{\partial u_\alpha}{\partial z} + \frac{\partial u_3}{\partial x_\alpha} = \psi_\alpha + w_{,\alpha} = \varphi_\alpha \quad (2)$$

2.2 효율적 고차이론(Efficient Higher Order Plate Theory)

아랫면을 기준면으로 하는 효율적 고차이론의 변위 장은 다음과 같이 쓸 수 있다.

$$\begin{aligned} u_\alpha &= u_\alpha^0 + \psi_\alpha z + \xi_\alpha z^2 + \phi_\alpha z^3 \\ &+ \sum_{k=1}^{N-1} S_\alpha^k \{(z - z_k)H(z - z_k)\} \\ u_3 &= u(x_1, x_2) \end{aligned} \quad (3)$$

여기서 N 은 적층판의 개수이며, $H(z - z_k)$ 는 단위계단함수(Heaviside unit step function)이다. 위. 아래면에서 횡전단응력의 경계조건과($\sigma_{3\alpha}|_{z=0,h} = 0$) 층간 횡전단응력의 연속조건을($\sigma_{3\alpha}|_{z=z_k+} = \sigma_{3\alpha}|_{z=z_k-}$) 부과하면 다음과 같은 관계식을 얻을 수 있다.

$$\begin{aligned} \psi_\alpha &= -w_{,\alpha}, \quad \xi_\alpha = -\frac{3h}{2}\phi_\alpha - \frac{1}{2h} \sum_{k=1}^{N-1} S_\alpha^k \\ S_\alpha^k &= a_{\alpha\gamma}^k \phi_\gamma \end{aligned} \quad (4)$$

여기서 $a_{\alpha\gamma}^k$ 는 적층판의 재질특성과 층의 두께의 함수로 결정되는 계수이다. 따라서 고차이론의 면내 변위장은 식(4)를 식(3)에 대입하여 얻을 수 있다.

$$\begin{aligned} u_\alpha &= u_\alpha^0 - zw_{,\alpha} + (z^3 - \frac{3h}{2}z^2)\phi_\alpha \\ &+ \sum_{k=1}^{N-1} a_{\alpha\gamma}^k \phi_\gamma [-\frac{z^2}{2h} + \{(z - z_k)H(z - z_k)\}] \end{aligned} \quad (5)$$

또한, EHOPT의 횡전단 변형률은 다음과 같다.

$$\begin{aligned} \gamma_{3\alpha} &= \frac{\partial u_\alpha}{\partial z} + \frac{\partial u_3}{\partial x_\alpha} \\ &= 3(z^2 - hz)\phi_\alpha + \sum_{k=1}^{N-1} a_{\alpha\gamma}^k \phi_\gamma \{-\frac{z}{h} + H(z - z_k)\} \end{aligned} \quad (6)$$

3. 회전각 변위 비교법

FOPT와 EHOPT의 횡방향 전단변형률은 각각 φ_α 와 ϕ_α 로 나타낼 수 있다. 두 이론의 횡전단 변형 에너지의 등가를 가정하면 EHOPT의 회전각 변위 ϕ_α 는 FOPT의 회전각 변위 φ_α 로 표현할 수 있다. 그러나 두 이론의 전단에너지의 등가를 적용할 때 전단에너지의 연성관계(그림 1-2)로 인하여 두 이론의 회전각 변위의 대응이 명확히 이루어지지 않는다. 이를 해결하기 위해 EHOPT의 연계항인 \bar{Q}_{45} 를 제거하는 좌표변환을 수행하였다. 주축의 방향은 전단강성률과 층의 두께로 표시할 수 있다. EHOPT의 횡전단에너지는 다음과 같다.

$$U_{shear}^{EHOPT} = \frac{1}{2} \sum_{k=1}^N \int_{z_k}^{z_{k+1}} \begin{Bmatrix} \gamma_{13} \\ \gamma_{23} \end{Bmatrix}^T \begin{bmatrix} \bar{Q}_{55}^k & \bar{Q}_{45}^k \\ \bar{Q}_{45}^k & \bar{Q}_{44}^k \end{bmatrix} \begin{Bmatrix} \gamma_{13} \\ \gamma_{23} \end{Bmatrix} dz \quad (7)$$

연계항이 제거된 EHOPT의 전단변형에너지는 회전각 변위의 좌표변환식을 이용하여 다음과 같이 나타낼 수 있다.

$$U_c^{EHOPT} = \int_0^h \{ \bar{Q}_{55} \phi_1^2 + \bar{Q}_{45} \phi_1 \phi_2 + \bar{Q}_{44} \phi_2^2 \} dz = A_{55}^* \phi_1^2 + A_{45}^* \phi_1 \phi_2 + A_{44}^* \phi_2^2 \quad (8)$$

여기서

$$\begin{Bmatrix} \phi_1 \\ \phi_2 \end{Bmatrix} = \begin{bmatrix} \cos\beta & -\sin\beta \\ \sin\beta & \cos\beta \end{bmatrix} \begin{Bmatrix} \phi_1 \\ \phi_2 \end{Bmatrix}$$

$$(A_{44}^*, A_{45}^*, A_{55}^*) = \int_0^h (\bar{Q}_{44}, \bar{Q}_{45}, \bar{Q}_{55}) dz$$

또한, 주축의 방향(β)은 $A_{45}^* = 0$ 인 조건에 의해 구해진다.

$$\beta = \frac{1}{2} \tan^{-1} \left(\frac{2A_{45}^*}{A_{44}^* - A_{55}^*} \right) \quad (9)$$

FOPT의 보다 정확한 해석을 위해서 전단수정계수가 도입되는데 k_1 과 k_2 만을 사용한다면[9-11] 두 이론의 주축의 방향이 일치하지 않으므로 전단에너지 대응이 명확히 이루어지지 않는다. 이에 본 연구에서는 두 이론의 주축의 방향이 같아지도록 하기 위해 k_3 를 비대각항에 넣어 전단에너지 대응이 명확히 이루어지도록 하였다.

$$U_c^{FOPT} = \frac{1}{2} \sum_{k=1}^N \int_{z_k}^{z_{k+1}} \begin{Bmatrix} \gamma_{13} \\ \gamma_{23} \end{Bmatrix}^T \begin{bmatrix} k_1 \bar{Q}_{55}^k & k_3 \bar{Q}_{45}^k \\ k_3 \bar{Q}_{45}^k & k_2 \bar{Q}_{44}^k \end{bmatrix} \begin{Bmatrix} \gamma_{13} \\ \gamma_{23} \end{Bmatrix} dz \quad (10)$$

$$\begin{Bmatrix} \gamma_{13}' \\ \gamma_{23}' \end{Bmatrix} = \begin{bmatrix} \cos\beta & -\sin\beta \\ \sin\beta & \cos\beta \end{bmatrix} \begin{Bmatrix} \gamma_{13} \\ \gamma_{23} \end{Bmatrix} \quad (11)$$

전단수정계수 k_3 는 k_1, k_2 그리고 EHOPT의 주축의 방향(β)으로 나타낼 수 있다.

$$k_3 = \frac{k_1 \bar{A}_{55} - k_2 \bar{A}_{44}}{2 \bar{A}_{45}} \tan 2\beta \quad (12)$$

전단수정계수 k_1 과 k_2 는 일차이론의 평형방정식으로부터 얻은 전단에너지와 구성방정식으로부터 얻어진 전단에너지의 등가를 이용하여 구할 수 있는데 이 가정으로부터 EHOPT의 회전각 변위를 FOPT의 회전각 변위로 명확히 표현할 수 있다.

$$U_c^{FOPT} = U_c^{EHOPT} \quad (13)$$

ϕ_α^{EHOPT} 는 선형계수 $C_{\alpha\beta}$ 와 일차이론의 회전각 변위 φ_α^{FOPT} 의 항으로 나타낼 수 있다.

$$\phi_\alpha^{EHOPT} = C_{\alpha\beta} \varphi_\alpha^{FOPT} \quad (14)$$

4. 면내 인장 관계식

EHOPT의 기준면은 FOPT의 기준면과 다르기 때문에 EHOPT의 면내 변위 u_α^0 를 보정해 주어야 한다. EHOPT의 면내인장 u_α^0 는 FOPT의 면내변위를 두께방향으로 적분한 것에서 EHOPT의 warping부분을 제거해서 얻을 수 있다(그림 3). 일반적인 층배열의 경우, EHOPT의 면내 변위장은 다음과 같이 쓸 수 있다.

$$u_1 = u_{11}^0 - w_{,1}z + (z^3 - \frac{3h}{2}z^2)\phi_1 + \sum_{k=1}^{N-1} a_{11}^k \left\{ -\frac{z^2}{2h} + (z - z_k)H(z - z_k) \right\} \phi_1$$

$$+ u_{12}^0 + \sum_{k=1}^{N-1} a_{12}^k \left\{ -\frac{z^2}{2h} + (z - z_k)H(z - z_k) \right\} \phi_2 \quad (15)$$

또는 간단하게 다음과 같이 두 부분으로 나누어 표시할 수 있다.

$$u_1 = \frac{u_{11}^0 - w_{,1}z + F_{11}(z)\phi_1 + u_{12}^0 + F_{12}(z)\phi_2}{u_{11}^{EHOPT} + u_{12}^{EHOPT}} \quad (16)$$

또한 이에 대응하는 FOPT의 면내변위도 다음과 같이 쓸 수 있다.

$$u_1 = \psi_1 z + u_1^0 = u_{11}^{FOPT} + u_{12}^{FOPT} \quad (17)$$

두 이론의 면내변위의 대응관계는 다음과 같다.

$$\int_0^h u_{\alpha\beta}^{EHOPT} dz = \int_{-\frac{h}{2}}^{\frac{h}{2}} u_{\alpha\beta}^{FOPT} dz \quad (18)$$

식(18)로부터 u_{11}^{EHOPT} 는 다음과 같이 구할 수 있다.

$$u_{11}^{EHOPT} = \frac{1}{h} \left\{ \int_{-\frac{h}{2}}^{\frac{h}{2}} \psi_1^{FOPT} z dz + \int_0^h (w_{11}^{EHOPT} z - F_{11}(z) \phi_1^{EHOPT}) dz \right\} \quad (19)$$

위와 같은 과정으로부터 계산된 u_{11}^o 와 u_{12}^o 를 이용하여 면내 변위를 구성할 수 있으나 이렇게 구성된 면내 변위는 평판의 윗면과 아래면에서 횡전단 응력이 없다는 조건을 만족하지 못한다. 따라서 면내 평형방정식을 이용하여(그림 4) u_{12}^o 와 u_{21}^o 을 보정해 주어야 한다. 면내 평형방정식은 다음과 같다.

$$N_{1,1} + N_{12,2} = 0, \quad N_{12,1} + N_{2,2} = 0 \quad (20)$$

면내 평형방정식에 의하여 u_{12}^o 와 u_{21}^o 는 $C_1^o u_{12}^o$ 와 $C_2^o u_{21}^o$ 로 개선된다. 여기서 C_1^o 와 C_2^o 는 식(20)을 만족시키는 조건으로 구해지는 선형계수이다.

5. 유한요소의 정식화

FOPT의 유한요소 정식화를 위해 각각의 변수들을 절점변위와 형상함수로 나타내었다.

$$(u_{\alpha}^o, \psi_{\alpha}, w) = \sum_{i=1}^n (N_i u_{\alpha i}^o, N_i \psi_{\alpha i}, N_i w_i) \quad (21)$$

여기서 n 은 요소에서의 절점의 개수이며 N_i 는 i 번째 노드의 형상함수이다. 본 연구에서는 9절점 등매개요소를 사용하여 FOPT의 해를 구하였다. 본 후처리기법에서의 횡전단응력은 평형방정식을 이용하여 정확하게 계산된다. 그러나 평형방정식을 이용할 경우에 치짐(w)에 관한 고차미분값의 계산이 필요하게 된다. 이것이 후처리기법을 유한요소법에 적용하는 것을 어렵게 만든다. 본 연구에서는 요소의 중앙에서 계산된 2차미분값들의 차이를 이용하여 3차미분값을 계산하였다.

6. 수치예와 결과

본 연구에서는 탄성해(-)와[12] 후처리기법을 통해 나온 해(---)를 비교하고, 본 방법의 성능을 평가하기 위해 다음과 같은 2가지 경우의 문제를 고려한다.

Case 1 : [-30/30/-30/30] 정사각평판

Case 2 : [-45/45/-45/45] 정사각평판

두께비는 모두 4이며 재질상수는 다음과 같다.

$$E_1 = 25 \times 10^6 \text{ psi}, \quad E_2 = E_3 = 10^6 \text{ psi}$$

$$G_{12} = G_{13} = 0.5 \times 10^6 \text{ psi}$$

$$G_{23} = 0.2 \times 10^6 \text{ psi}, \quad \nu_{12} = \nu_{13} = \nu_{23} = 0.25$$

평판의 하중 및 경계조건은 그림 5에 나타내었다. 다른 여러이론과 비교하기 위하여 구해진 결과는 다음과 같이 무차원화 하였다.

$$\begin{aligned} (\bar{\sigma}_{xx}, \bar{\sigma}_{yy}, \bar{\sigma}_{xy}) &= \frac{h^2}{q_0 a^2} (\sigma_{xx}, \sigma_{yy}, \sigma_{xy}) \\ (\bar{\sigma}_{yz}, \bar{\sigma}_{xz}) &= \frac{h}{q_0 a} (\sigma_{yz}, \sigma_{xz}) \\ (\bar{u}, \bar{v}) &= \frac{E_2 h^2}{q_0 a^3} (u, v) \\ \bar{w} &= \frac{100 \times E_2 h^3}{q_0 a^4} w \end{aligned} \quad (22)$$

12 × 12 균일메쉬가 사용되었으며 전단수정계수를 구하기 위하여 반복적인 계산방법이 사용되었다. Case 1과 2의 응력 해석 결과를 그림 6-10에서 탄성해와 비교하였다. 일차전단변형이론에 기초한 등매개 9절점 유한요소의 결과로부터 고차이론의 정확도를 거의 회복하는 변위장과 응력장을 구성할 수 있었고 해석 결과는 3차원 탄성해와 비교하여 상당히 정확함을 알 수 있다.

7. 결론

본 연구에서는 효율적 고차이론을 후처리기로 이용한 후처리기법의 해석해와 수치해를 통해서 면내 변위, 면내응력, 그리고 횡방향 전단응력을 개선할 수 있음을 보였다. 또한 유한요소 정식화가 쉬운 등매개요소에 후처리기법을 적용하였고 평형방정식의 적분시 필요한 고차미분값을 2차미분값의 차이를 이용하여 계산하였다. 본 후처리기법을 유한요소에 적용하였을 때 탄성해와 비교할 만한 좋은 결과를 얻을 수 있었다.

참고문헌

- [1] Reddy, J.N., "A Simple Higher-Order Theory for Laminated Composite Plates", *Journal of Applied Mechanics*, Vol. 51, No. 4, 1984, pp. 745-752.

- [2] Di Sciuva, M., "Bending Vibration and Buckling of Simply Supported Thick Multilayered Orthotropic plates: An Evaluation of a New Displacement Model", *Journal of Sound and Vibration*. Vol. 105, No. 3, 1986, pp. 425-442.
- [3] Bharska, K., and Varadan, T.K., "Refinement of Higher-Order Laminated Plate Theories", *AIAA Journal*, Vol. 27, No. 12, 1989, pp. 1831-1821.
- [4] Cho, M., and Parmerter, R.R., "An Efficient Higher-Order Plate Theory for Laminated Composites", *Composite Structures*, Vol. 20, 1992, pp. 113-123.
- [5] Cho, M. and Parmerter, R.R., "An Efficient Higher Order Composite Plate Theory for General Lamination Configurations", *AIAA Journal*, Vol. 30, 1993, pp. 1299-1307.
- [6] Cho, M. and Parmerter, R.R., "Finite Element for Composite Plate Bending Based on Efficient Higher Order Theory". *AIAA Journal*, Vol. 32, 1994, pp. 2241-2248.
- [7] Cho, M. and Kim, J.H., "Postprocess Method Using Displacement Field of Higher Order Laminated Composite Plate Theory", *AIAA Journal*, Vol. 34, No. 2, 1996, pp. 362-368.
- [8] Cho, M. and Kim, M.H., "A Postprocess Method Using a Displacement Field of Higher-order Shell Theory", *Composite Structures*, Vol. 34, 1996, pp. 185-196.
- [9] Whitney, J.M., "Stress Analysis of Thick Laminated Composites and Sandwich Plates", *Journal of Composite Materials*, Vol. 6, 1972, pp. 426-440.
- [10] Whitney, J.M., "Shear Correction Factors for Orthotropic Laminates Under Static Load", *Journal of Applied Mechanics*, Vol. 40, 1973, pp. 302-304.
- [11] Noor, A.K., and Burton, W.S., "Stress and Free Vibration Analysis of Multi layered Composite Plates", *Composite Structure*, Vol. 11, 1989, pp. 183-204.
- [12] Savoia, M. and Reddy, J.N., "A Variational Approach to Three-Dimensional Elasticity Solutions of Laminated Composite Plates", *Journal of Applied Mechanics*. Vol. 59, 199

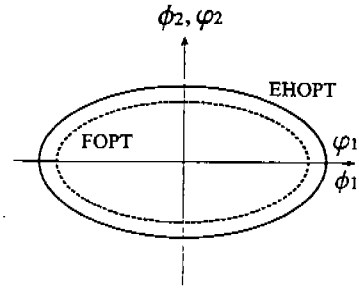


그림 1 연계성이 없는 경우의 횡전단변형 에너지

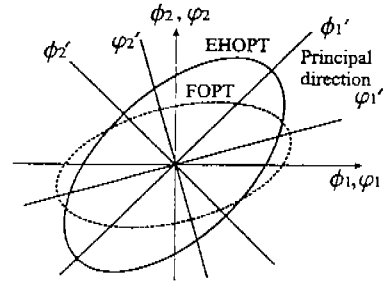


그림 2 연계성이 있는 경우의 횡전단변형 에너지

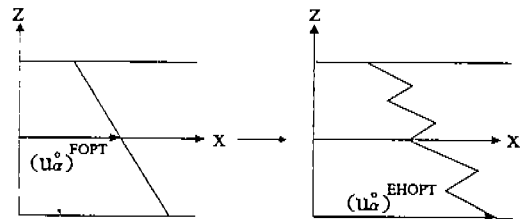


그림 3 면내 변위의 matching

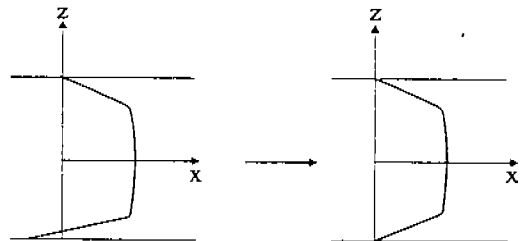


그림 4 횡전단 응력의 경계조건($N_{\alpha\beta, \beta} = 0$)

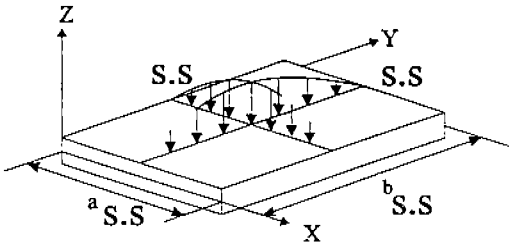


그림 5 평판의 하중 및 경계조건

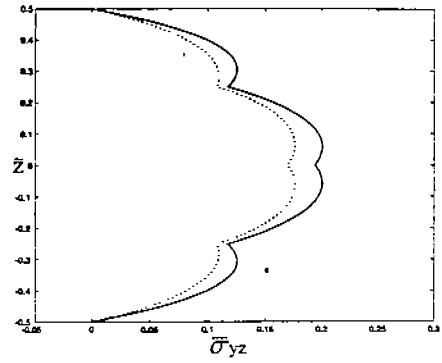


그림 8 Case1에 대한 두께방향의 횡전단 응력

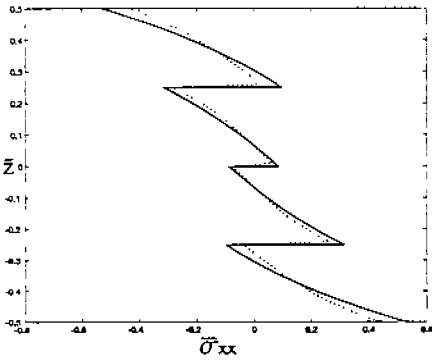


그림 6 Case1에 대한 두께방향의 면내 응력

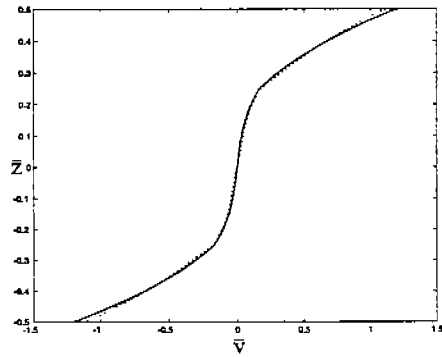


그림 9 Case2에 대한 두께방향의 면내 변위

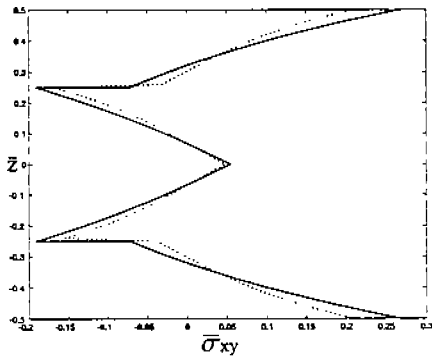


그림 7 Case1에 대한 두께방향의 면내 응력

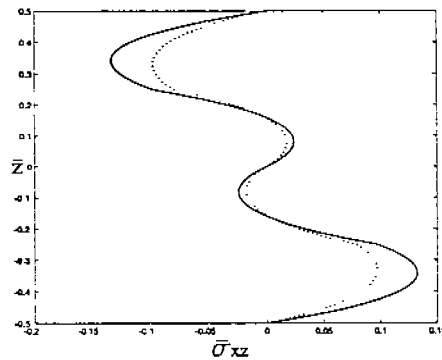


그림 10 Case2에 대한 두께방향의 횡전단 응력